

II-360 水平没水円柱周りの流れの可視化

大同工業大学大学院 学生員 豊田敏文
 大同工業大学 正員 久保田稔
 大同工業大学大学院 学生員 山本純悟

1. はじめに これまで行われた円柱周りの流れの可視化実験は円柱周りの流れが境界壁の影響を受けない場合あるいは、鉛直円柱（橋脚等のモデル）周りの流れ等に対して精力的に行われてきた。一方、最近増えてきた海洋構造物の建設あるいは海底パイプラインの設置問題を考える場合には、境界（路床）の影響を受ける水平円柱周りの流れの性格を詳細に知る必要がある。そこで今回著者らは、水平円柱周りの流れの可視化を行い、渦度分布を求めたので報告する。

2. 実験方法 幅50cm、高さ50cm、長さ25mの可変勾配式実験水路内に、図-1の直径D=3cmのアクリル製円柱を流れに対し直角に取り付けた台を挿入した。路床と円柱との間隔eは、0cm、1.5cmおよび3cmの3種類とし、直径5mmのプロペラ流速計で円柱前後の水路中央部で、流速分布を測定するとともに、比重1.07、平均直径0.57mmのトレーサー（アクリルの微粉末）を用いて、円柱まわりの流れを可視化した。

3. 可視化手法 水路の上より、円柱の上下流2方向から250Wのスライドプロジェクターを2台用い、幅約5mmの光シートを円柱に直角に当て、水路側面よりCCDビデオカメラ(SONY, AVC-D1)で流れを撮影した。図-2は、シャッタースピード1/60秒、しばり1.4の写真であり、同図のようなビデオ画面上のトレーサー粒子の軌跡を画像解析装置(PIXTA 555)を用いて求めた。画像処理の手法としては、連続する3枚の瞬間ビデオ画像を用いて以下のように処理した。

(1) 速度ベクトルについて、 $\Delta t (=0.03\text{秒})$ 時間間隔で3画面を取り込み、tとt+ Δt の2つの画面をそれぞれ2値化してから一枚の画面に表示し、tとt+ Δt でのそれぞれ対応している粒子の座標(x₁, y₁)と(x₂, y₂)を読み取る。同様の操作をt+ Δt とt+2 Δt の画面に対しても行い、粒子座標(X₂, Y₂)と(X₃, Y₃)を読み取り、X₂=X₁, Y₂=Y₁を満たす粒子に対して、座標(x₁, y₁)、(X₂, Y₂)よりそれぞれの速度ベクトルを求め、速度ベクトルの位置(X, Y)はX=(x₂+X₂)/2, Y=(y₂+Y₂)/2とした。なお、光シート外からシート内（あるいはその逆）に入り込んだ粒子をも読み取っている可能性があると考え、粒子の加速度が100cm/s²以上の場合には、その一組の粒子を破棄した。データの読み取り個数は、例えば図-3の実験(e=1.5cm)の場合、tとt+ Δt での読み取り個数は2571個、t+ Δt とt+2 Δt での個数は2398個であり、最終の速度ベクトルの個数はそれぞれ1948個であった。

(2) 格子点上の速度ベクトルは、Imaiらの手法によった。つまり、相対的な原点(0, 0)における未知の流速(u, v)と任意座標(ξ_k, η_k)において測定した流速(u_k, v_k)の間に次ページのような線形関係を仮定して、格子上における未知量(u , $\partial u / \partial x$, $\partial u / \partial y$, v , $\partial v / \partial x$,

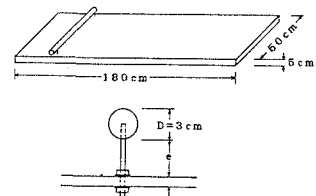


図-1 円柱設置説明図

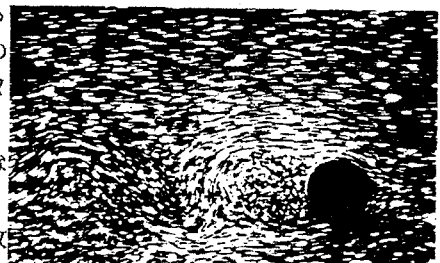


図-2 流れの可視化写真

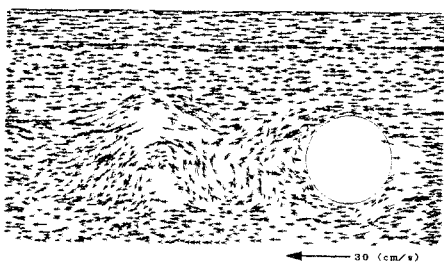


図-3 速度ベクトル

$\partial v / \partial y$) を最小自乗法により求める。計算は各格子点を原点とした半径を徐々に大きくし、原点を中心とした4つの象限の中に少なくともデータが各1個存在する場合、あるいは円内の速度ベクトルの個数が8個以上になった場合に最小自乗法を用いている。ここに、 $L (= 0.5 \text{ cm})$ を格子間隔とすると、格子上の半径 r は最小 $r_{\min} = 0.6L$ であり、順次 $0.1 \cdot L$ づつ増加させ、 $r_{\max} = 1.5L$ を最大の半径とした。図-4は図-3に対応した格子点上の速度ベクトルである。

$$u_k = u + \partial u / \partial x \cdot \xi_k + \partial u / \partial y \cdot \eta_k$$

$$v_k = v + \partial v / \partial x \cdot \xi_k + \partial v / \partial y \cdot \eta_k$$

3. 涡度分布 涡度 ω は格子点の流速を用いて、次の差分近似によって求める。格子点間隔を $\delta x, \delta y$ とすると

$$\begin{aligned} \omega_{i,j} &= (v_{i+1/2,j} - v_{i-1/2,j}) / \delta x \\ &\quad - (u_{i,j+1/2} - u_{i,j-1/2}) / \delta y \end{aligned}$$

である。なお、渦度の境界条件としては、滑り無しのWOODSの式

$$\omega_B = -3(\psi_N - \psi_B) / \Delta y^2 - \omega_N / 2$$

を用いた(図-5参照)。図-6は、図-4に対応した無次元渦度分布($\omega D / U$)であり、同図より負(時計回り)の渦度が、円柱下方のすぐ後ろにほぼ同じ形状で分布している。一方、図-7は、メチレンブルーを用いて可視化した、円柱より発生する渦のストローハル数 S_t を示している。同図中には、BEARMANらのデータも示してあり、著者らのデータもほぼ $e/D \approx 0.5$ 程度から S_t 数が減少する傾向を示している。現時点では明確な説明は困難であるが、図-5の渦度分布の上記の特徴と S_t 数の減少との対応関係は、興味ある結果であり、今後の検討課題としたい。

4. おわりに 著者らは、上記の可視化実験を行い、渦度分布を求めた。講演時には、さらに $e/D = 0$ および $e/D = 1.0$ の場合の渦度分布についても報告する。

- 参考文献 1)KENSUKE IMAICHI AND KAZUO OHMI;Numerical processing of flow-visualization pictures measurement of two-dimensional vortex flow,J.F.M.,Vol.129,pp.283-311,1983.
 2)藤田一郎;開水路合流部の流れの構造に関する研究,神戸大学学位論文,平成2年1月.
 3)ハドリック・J・D・チ 著,高橋亮一他訳;コンピュータによる流体力学(上),構造計画研究所刊,昭和52年.
 4)BEARMAN,P.W AND ZDRAVKOVICH,M.M;Flow around a circular cylinder near a plane boundary,J. Fluid Mech.vol.89,part1,pp.33-47,1978.

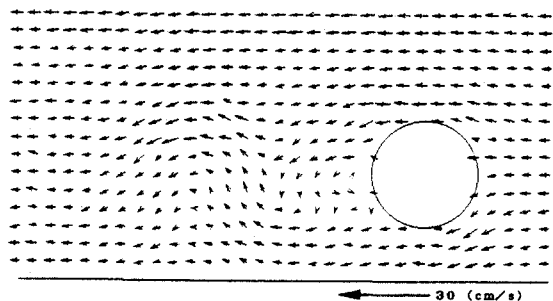


図-4 格子点上速度ベクトル

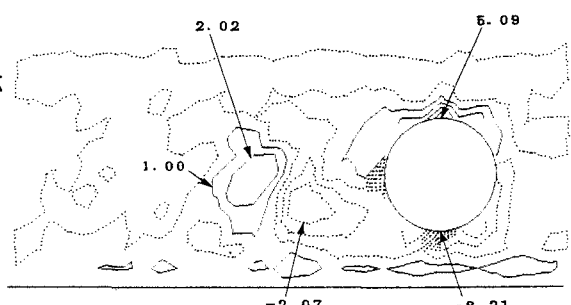
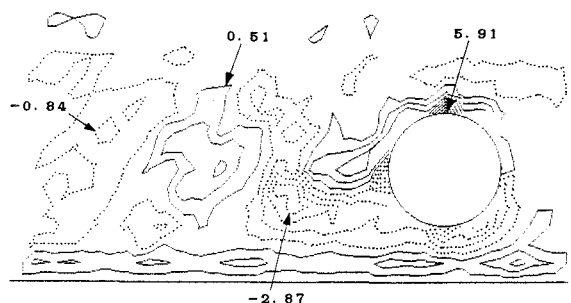


図-6 渦度分布

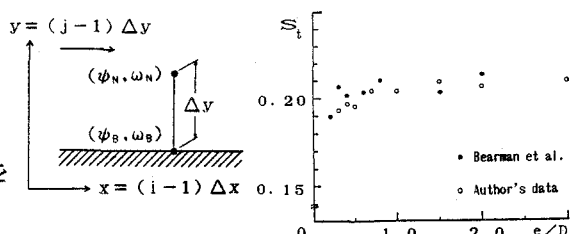


図-5 境界条件

図-7 ストローハル数